

УДК 620.193.8

## РОЛЬ СУПЕРОКСИДНОГО АНИОН-РАДИКАЛА В БАКТЕРИАЛЬНОЙ КОРРОЗИИ МЕТАЛЛОВ

© 2012 г. Д. В. Белов\*, А. А. Калинина\*, Т. Н. Соколова\*, В. Ф. Смирнов\*\*,  
М. В. Челнокова\*, В. Р. Карташов\*

\*Нижегородский государственный технический университет  
им. Р.Е. Алексеева, Нижний Новгород, 603600

\*\*Научно-исследовательский институт химии Нижегородского государственного университета  
им. Н.И. Лобачевского, Нижний Новгород, 603950

e-mail: 777aleksa777\_87@mail.ru,  
biotehno@nnntu.nnov.ru

Поступила в редакцию 16.08.2011 г.

Установлена способность 7 штаммов бактерий участвовать в коррозионном повреждении алюминия, его сплавов, а также цинка. Наиболее активными по отношению к изучаемым металлам были бактерии *Proteus vulgaris* 1212 и *Pseudomonas aeruginosa* 969. Показана роль супероксидного анион-радикала в инициировании коррозионного разрушения алюминия и цинка, а также экзометаболитов бактерий – органических кислот в развитии этого процесса.

Многие металлы и промышленные изделия на их основе при контакте с микроорганизмами подвергаются значительным коррозионным повреждениям [1–2]. В работах [3–5], на основе результатов исследования коррозии алюминия и его сплавов под воздействием грибов, нами было сделано предположение, что процесс обусловлен воздействием на поверхность металла супероксидного анион-радикала  $O_2^-$ , образующегося при жизнедеятельности микроорганизмов. Была предложена схема инициирования коррозии и ее дальнейшего развития, которая хорошо согласуется с данными, полученными при использовании более широкого ряда металлов [6].

Существенный ущерб металлоконструкциям в естественной среде – почве, влажной атмосфере, воде, наносят также бактерии. Механизм воздействия на металл некоторых видов бактерий, таких, как железобактерии, сульфатредуцирующие, нитрифицирующие, тионовые, достаточно широко изучен [7]. В то же время коррозия под воздействием бактерий-органотрофов, способных использовать в качестве питательной среды органические загрязнения на поверхности металлов (технические масла, смазки органической природы, масложировые продукты), является до сих пор мало исследованной. Остается открытым вопрос о начальной стадии инициирования, вызывающей каскад химических превращений на поверхности металла, сопровождающийся глубокими коррозионными повреждениями.

Цель работы – исследование способности бактерий-органотрофов к образованию  $O_2^-$ , как од-

ного из факторов инициирования коррозии металлов, а также выявление изменений поверхности в динамике и определение роли экзометаболитов в развитии коррозионного процесса.

### МЕТОДИКА

В качестве тест-организмов использовали следующие культуры бактерий: *Escherichia coli* 321-5, *Proteus vulgaris* 1212, *Pseudomonas aeruginosa* 969, *Staphylococcus aureus* 956, *Staphylococcus epidermidis* 1061, *Streptococcus salivarius*, *Bacillus megaterium*, которые были предоставлены Всероссийской коллекцией микроорганизмов ИБФМ РАН (г. Пущино, Московской обл.).

В качестве объектов исследования были выбраны алюминий марки АД0, сплавы на его основе Д16 (Al – 90.8%; Cu – 4.3%; Mg – 1.5%; Mn – 0.6%), Д16Т (Al – 91.7%; Cu – 3.99%; Mg – 1.39%; Mn – 0.5%), В65 (Al – 97.2%; Cu – 4.2%; Mg – 0.25%; Mn – 0.4%), а также цинк (Zn – 99.99%; Pb, Cd, Fe, Sn, Cu, Al – 0.01%), которые широко используются в качестве конструкционных материалов.

Образцы металлов предварительношлифовались до получения гладкой поверхности и полировались до зеркального блеска. После этого они промывались водой, поверхность обезжиривалась тетрахлорметаном, затем этиловым спиртом, вторично промывались водой и высушивались. Стерилизация образцов до и после экспозиции проводилась фламбированием.

Бактериальные культуры выращивали на МПА в чашках Петри в термостате при температуре  $37 \pm 2^\circ\text{C}$  и влажности воздуха 90%. Водную суспензию суточных культур бактерий, выращенных в пробирках на скошенном агаре, высевали на плотную питательную среду. После чего на поверхность питательной среды помещали подготовленные металлические образцы (средняя масса – 0.5 г) и инкубировали в термостате при температуре  $37 \pm 2^\circ\text{C}$  и влажности воздуха 90% в течение 3–90 сут в зависимости от цели эксперимента. Контрольный эксперимент проводили в аналогичных условиях на плотной питательной среде, не засеянной культурами бактерий.

По окончании инкубирования поверхность образцов исследовали визуально для выяснения изменения состояния поверхности. Оценку состояния поверхности производили по разработанной бальной шкале: А – образование жидкого экссудата; Б – локальное потускнение поверхности; В – образование полупрозрачного слоя легко удаляемых продуктов коррозии; Г – коррозия с образованием продуктов аморфного, рыхлого характера (в т.ч. гидроксидов); Д – коррозия по всей поверхности с образованием продуктов коррозии, покрывающих более 50% поверхности образца [3–6].

С образцов, подвергшихся длительной экспозиции (около 90 сут) под воздействием бактерии *Pseudomonas aeruginosa* 969, состояние поверхности которых соответствовало баллам А–Д, механическим способом собирали продукты коррозии, после чего определялся химический состав собранной массы. Эксперимент проводился в шестикратной повторности, в каждой из которых обрабатывалась поверхность 10 образцов.

Полученная масса загружалась в аппарат Сокслета для непрерывной экстракции последовательно диэтиловым эфиром, этилацетатом, ацетоном, ацетонитрилом, диоксаном. Полученные экстракционные растворы фильтровались, высушивались над безводным  $\text{Na}_2\text{SO}_4$ . Органические кислоты, содержащиеся в остатке после полного удаления диэтилового эфира и этилацетата, переводились в метиловые и триметилсилильные эфиры по стандартным методикам и анализировались методами ГЖХ и ТСХ с использованием веществ-свидетелей.

Растворы в ацетоне, ацетонитриле и диоксане концентрировали путем частичного удаления растворителя и анализировали методами ТСХ с использованием веществ-свидетелей на содержание свободных аминокислот и свободных органических кислот соответственно.

Газожидкостная хроматография осуществлялась на хроматографе Кристалл-4000 (Россия, Мета-хром) с плазменно-ионизационным детектором, длина колонки 30 м; сорбент – метилсилико-

новый эластомер с толщиной пленки 0.21 мкм; температура колонки  $100\text{--}200^\circ\text{C}$ , в зависимости от нанесенного образца; температура испарителя –  $270^\circ\text{C}$ , детектора –  $180^\circ\text{C}$ ; расход газа–носителя азота –  $60 \text{ см}^3/\text{мин}$ ; расход воздуха  $300 \text{ см}^3/\text{мин}$ . Объем пробы составлял от 1 до 5 мкл.

Анализ методом тонкослойной хроматографии проводился на пластинах Silufol UV 254 фирмы “Kavalier” (Чехословакия) по стандартным методикам [8].

Наличие в экссудате ионов калия, натрия и аммония определяли методами микрохимического анализа [9].

Возможность генерации  $\text{O}_2^-$  бактериями и транспорт его в окружающую среду исследовались нами при культивировании микроорганизмов на плотной питательной среде. Бактерии предварительно выращивались в оптимальных условиях ( $37 \pm 2^\circ\text{C}$ , влажность 90%) в течение 24 ч. При проведении опытов суспензию бактерий кишечной группы ( $9.3 \times 10^6 \text{ кл./мл}$ ) получали смывом с поверхности твердой среды 0.05 М фосфатным буфером, pH 7.4. К 2 мл полученной суспензии бактерий добавляли 0.5 мл 0.01 М нитросинего тетразолия (НСТ), в параллельном опыте к полученной суспензии бактерий сначала добавлялось 0.15 мл супероксиддисмутазы (СОД, 15 ед. активности), а затем НСТ.

## РЕЗУЛЬТАТЫ И ИХ ОБСУЖДЕНИЕ

За динамикой изменения состояния поверхности металлов под воздействием бактерий наблюдали визуально, фиксируя характерные изменения через определенные промежутки времени с начала экспозиции (табл. 1–2).

Как видно из табл. 1, через 5–10 сут после заражения на поверхности алюминия и его сплавов появляются локальные участки с матовыми и темными пятнами, а поверхность в целом утрачивает исходный блеск. Следует отметить, что особенностью коррозионного изменения алюминия и его сплавов при воздействии бактерий *E. coli* 321-5, *P. vulgaris* 1212, *S. aureus* 956, *S. epidermidis* 1061, *S. salivarius*, *B. megaterium*, в отличие от грибов, является отсутствие образования характерного экссудата на отдельных участках поверхности.

Однако при воздействии бактерии *P. aeruginosa* 969 на сплавы алюминия Д16 и Д16Т подобное проявление коррозии имело место через 3–5 сут – на торцах большинства образцов формировался экссудат с pH ≈ 10–11, наряду с полупрозрачным слоем легко удаляемых продуктов коррозии. При коррозии цинка на начальных стадиях процесса образование жидкого экссудата с pH ≈ 11 (рис. 1) происходило при воздействии всех исследуемых бактерий, хотя и в разной степени.

**Таблица 1.** Изменения поверхности сплавов алюминия в процессе коррозии под действием бактерий\*

Бактерии	Время экспозиции, сут												
	Сплав В65						Сплав АД0						
	3	5	20	30	40	60	3	5, 10	15	20	30	40	60
<i>B. megaterium</i>	А	Б	Б	В	Г	Г	А	Б	Б	Б	В	В	Г
<i>E. coli</i> 321-5	А	Б	Б	Б	Б	В	А	Б	Б	Б	Б	Б	В
<i>P. vulgaris</i> 1212	А	Б	Г	Д	Д	Д	А	Б	В	Г	Д	Д	Д
<i>P. aeruginosa</i> 969	А	Б	Г	Д	Д	Д	А	Б	В	Г	Д	Д	Д
<i>S. aureus</i> 956	А	Б	Б	В	Г	Г	А	Б	Б	Б	В	Г	Г
<i>S. salivarius</i>	А	Б	Б	Б	Б	А	Б	Б	Б	Б	Б	Б	В
	Сплав Д16						Сплав Д16Т						
	3	5	10	20	30	40	60	3	5	10	20	30	60
<i>B. megaterium</i>	А	Б	Б	Б	Б	В	В	А	Б	В	Г	Д	Д
<i>E. coli</i> 321-5	А	Б	Б	В	Г	Г	Г	А	Б	Б	Б	Б	Б
<i>P. vulgaris</i> 1212	А	Б	Б	В	Г	Г	Д	А	Б	Б	В	Г	Д
<i>P. aeruginosa</i> 969	А	В	Г	Г	Д	Д	Д	А	В	Г	Г	Д	Д
<i>S. aureus</i> 956	А	Б	Б	В	Г	Г	Д	А	Б	В	Г	Г	Д
<i>S. salivarius</i>	А	Б	В	В	Г	Г	Г	А	В	Г	Г	Д	Д

\*А – образование жидкого экссудата; Б – локальное потускнение поверхности; В – образование полупрозрачного слоя легко удаляемых продуктов коррозии; Г – коррозия с образованием аморфных, рыхлых продуктов, в том числе гидроксидов; Д – коррозия по всей его поверхности с образованием продуктов, покрывающих более 50% поверхности.

**Таблица 2.** Характеристика изменений поверхности при биокоррозии цинка под действием бактерий\*

Бактерии	Время экспозиции, сут						
	10	20–30	35	40	50–57	64–70	90
<i>E. coli</i> 321-5	А	А	А	А, Б	Б, В	Б, В	В
<i>P. vulgaris</i> 1212	А	А	А, Б	А, Б	Б, В	В, Г	Г
<i>P. aeruginosa</i> 969	А	А, Б	А	А, Б	Б, В	В, Г	Г
<i>S. aureus</i> 956	А	А	А, Б	А	Б, В	В	В
<i>S. epidermidis</i> 1061	А	А	А, Б	А, Б	Б, В	Г	Г

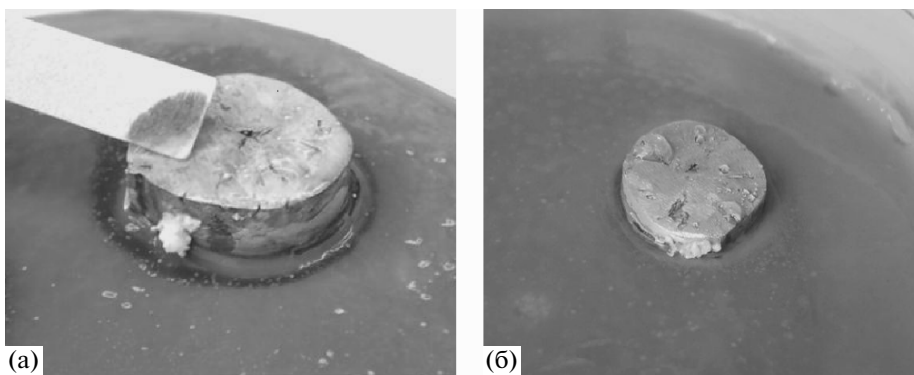
\* Обозначения см. в табл. 1.

Как видно из табл. 1–2, по отношению к исследованным металлам бактерии проявляли различную коррозионную активность. Наиболее активными по отношению к алюминию, его сплавам и цинку оказались *P. vulgaris* 1212, *P. aeruginosa* 969, хотя по степени воздействия на эти два типа металлов они существенным образом различались (рис. 2, 3). Так, на поверхности сплавов алюминия под действием *P. vulgaris* 1212 уже через 5 сут наблюдалось образование полупрозрачных продуктов коррозии, легко удаляемых с поверх-

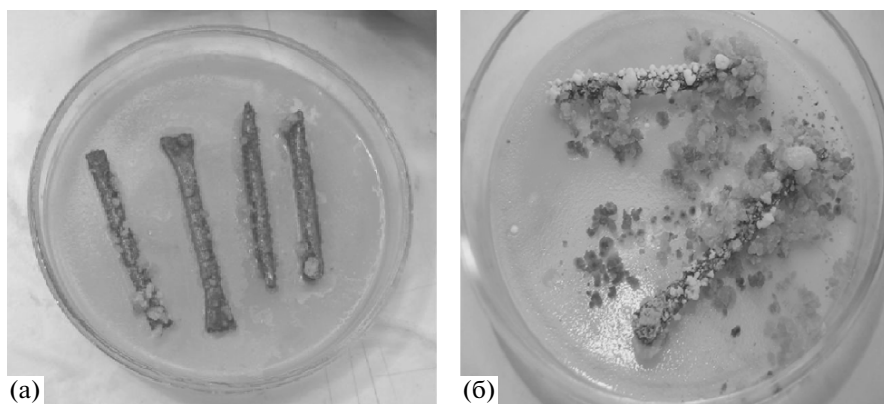
ности образцов (рис. 2а), а через 40 сут коррозия распространялась на всю поверхность (рис. 2б).

Начальные этапы бактериальной коррозии в ряде случаев были аналогичны вызываемой грибами, хотя ее характерные признаки, отмеченные в работах [3–6], были выражены менее ярко.

Наблюдаемая аналогия дает основание считать, что процесс бактериальной коррозии также инициируется взаимодействием супероксидного анион-радикала, выделяемого клетками бактерий, с поверхностью металла. Происходящие при



**Рис. 1.** Изменение поверхности цинка под воздействием бактерий *P. vulgaris* 1212 (а) и *P. aeruginosa* 969 (б) на 3 сут экспозиции.



**Рис. 2.** Динамика коррозионных разрушений образцов сплава В65 при воздействии бактерии *P. vulgaris* 1212: а – 5 сут; б – 40 сут экспозиции.

этом физико-химические изменения состояния поверхности, по-видимому, аналогичны тем, которые описаны в работах [3–6].

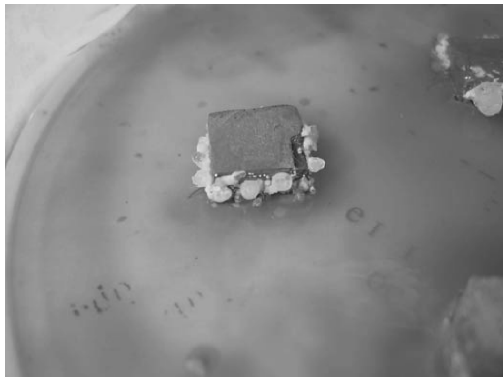
Для подтверждения такой интерпретации нами изучалась способность бактерий генерировать супероксидный анион-радикал.

В настоящее время одним из общепринятых методов [10] фиксации внеклеточного  $O_2^-$  является его реакция с НСТ. Реакция проходит путем последовательного четырехэлектронного восстановления НСТ (хлорид 2,2'-ди-(4-нитрофенил)-5,5' дифенил-3,3' (3',3'-диметокси-4,4'-дифенилен)-дитетразолия) с образованием сначалаmono-, а затем диформазана, окрашенных в глубокий сине-фиолетовый цвет [11, 12].

НСТ – реагент высокочувствительный, но неизбирательный, поскольку способен восстанавливаться другими относительно слабыми восстановительными системами [13, 14], поэтому для строгого заключения о возможности генерации  $O_2^-$  биологическими объектами и его транспорта

во внеклеточную среду анализы с применением НСТ проводятся с использованием фермента СОД [11, 15, 16].

Скорость ферментативной реакции намного выше, чем скорость реакции  $O_2^-$  с НСТ. Так, по данным работ [12, 14], скорость реакции  $O_2^-$  с НСТ равна  $5.9 \times 10^4 \text{ M}^{-1} \text{ с}^{-1}$ , в то время как константа скорости ферментативного разложения  $O_2^-$  имеет значение  $1.9 \times 10^9 \text{ M}^{-1} \text{ с}^{-1}$  [10]. Было установлено, что после инкубации бактерий в течение 15 мин в присутствии НСТ наблюдалось появление синей окраски разной интенсивности. Наиболее глубокое окрашивание фиксировалось в опытах с бактериями *P. vulgaris* 1212 и *P. aeruginosa* 969, а наименьшее – с бактерией *S. epidermidis* 1061. В контрольных вариантах опыта, содержащих СОД, водная суспензия бактерий к этому моменту времени оставалась практически неокрашенной. При более длительном выдерживании контрольных образцов они также приобретали синюю окраску. Очевидно, что после дезакти-



**Рис. 3.** Внешний вид образца цинка, находящегося под воздействием наиболее активного биодеструкто-ра – бактерии *P. vulgaris* 1212, 90 сут экспозиции.

вации СОД бактерии продолжали выделять в окружающую среду  $O_2^-$ , который и фиксировался реакцией с НСТ.

Полученные данные показывают, что некоторая часть внутриклеточного супероксидного анион-радикала может переходить в окружающую среду и принимать участие в химических реакциях, в том числе и в реакциях на поверхности металла. Наблюдаемую при этом корреляцию между количеством  $O_2^-$ , переходящим во внешнюю среду, и интенсивностью коррозии металлов можно рассматривать, как свидетельство участия  $O_2^-$  в химических процессах на их поверхности.

Известно, что клеточная стенка бактерий образована фосфолипидами и гликопротеинами (грамотрицательные бактерии) или гликопротеинами, покрытыми слоем фосфорилированных многоатомных спиртов (граммоположительные) [17]. Оба типа соединений клеточной стенки, находящиеся в непосредственном контакте с окружающей средой, являются сильнополярными. Поэтому можно предположить, что бактерии легко должны адсорбироваться на полярных адсорбентах, включая поверхность металлов, как это показано в работах [18].

С учетом этих данных литературы можно предположить, что именно на участках с неоднородной поверхностью начинается воздействие бактерий с последующими химическими превращениями с участием  $O_2^-$ , описанными в работах [3–6].

По-видимому, динамика коррозии металлов тесно связана с жизнедеятельностью бактерий. Поскольку для выращивания используется среда с полипептидами, то в экспоненциальной фазе роста (более 18 ч) следует ожидать выделения в окружающую среду аммиака, как продукта дезаминирования аминокислот. В экссудате, образующемся на поверхности металлов, подвергшихся

коррозии, после 3 сут экспозиции, методами микрорадиоизотопного анализа [9] нами, действительно, были обнаружены ионы аммония, а также калия и натрия, последние, по-видимому, диффундируют в экссудат из питательной среды. Наличие ионов калия и натрия в экссудате ранее наблюдали и при грибной коррозии [3–6]. Таким образом, в жидким экссудате с  $pH > 7.0$ , образующемся на начальных стадиях бактериальной коррозии, присутствуют гидроксиды калия и натрия, а также аммония. Ранее образование жидкого экссудата с основными свойствами, содержащего ионы аммония, было описано также и в работах [3–6].

Образование основного экссудата при бактериальной коррозии хорошо объясняется схемой, предложенной ранее для коррозии под воздействием грибов, и является следствием участия в коррозии металлов супероксидного анион-радикала [3–6].

При длительной экспозиции вследствие автолиза клеток высвобождаются клеточные метаболиты. В качестве главных среди них нами были идентифицированы органические кислоты различных классов. Накопление органических кислот фиксируется уже на 7–10 сут с начала экспозиции и их содержание достигало 50% в продуктах, собираемых с поверхности алюминия после трехмесячной экспозиции. Методом ГЖХ были идентифицированы следующие кислоты (в виде метиловых эфиров): каприловая, каприновая, лауриновая, миристиновая, пальмитиновая, линолевая, олеиновая, стеариновая, арахиновая, лигноцериновая. В виде триметилсилиловых эфиров были идентифицированы: пировиноградная, лимонная, фумаровая, янтарная; в виде свободных кислот: глюконовая, малоновая, уксусная, пропионовая, глутаровая,  $\alpha$ -кетоглутаровая. Аналогичные кислоты найдены среди продуктов коррозии цинка.

Органические кислоты в состоянии взаимодействовать с чистой поверхностью металла с образованием солей, которые во влажной атмосфере проведения эксперимента гидролизуются до свободных кислот и гидроксидов металлов, переходящие со временем в оксидные соединения. На завершающем этапе экспозиции роль органических кислот в коррозионном разрушении металла, по-видимому, является ключевой.

Таким образом, нами установлено, что некоторые штаммы органотрофных бактерий способны вызывать значительные коррозионные разрушения цинка, алюминия и сплавов на его основе. Показана способность бактерий выделять в окружающую среду супероксидный анион-радикал и сделано предположение об участии  $O_2^-$  в инициировании коррозии бактериями.

## СПИСОК ЛИТЕРАТУРЫ

1. Герасименко А.А. // Защита металлов. 1998. Т. 34. № 2. С. 192–207.
2. Герасименко А.А., Матюша Г.В., Иванов С.Н., Плаксин Ю.В. // Защита металлов. 1998. Т. 34. № 1. С. 51–58.
3. Белов Д.В., Соколова Т.Н., Смирнов В.Ф., Кузина О.В., Косюкова Л.В., Карташов В.Р. // Коррозия: материалы, защита. 2007. № 9. С. 36–41.
4. Смирнов В.Ф., Белов Д.В., Соколова Т.Н. // Прикл. биохимия и микробиология. 2008. Т. 44. № 2. С. 213–218.
5. Белов Д.В., Соколова Т.Н., Карташов В.Р., Смирнов В.Ф., Челнокова М.В., Ляпина М.А. // Известия Вузов. Сер. Химия и химическая технология. 2007. Т. 50. № 6. С. 60–64.
6. Белов Д.В., Челнокова М.В., Соколова Т.Н., Смирнов В.Ф., Карташов В.Р. // Коррозия: материалы, защита. 2009. № 11. С. 43–48.
7. Андреюк Е.И., Коваль Э.З., Билай В.И., Козлова И.А. Микробная коррозия и ее возбудители. Киев: Наукова думка, 1980. 288 с.
8. Кирхнер Ю. Тонкослойная хроматография / Ред. В.Г. Березкина. Т. 1. М.: Мир, 1981. 616 с.
9. Столлярев К.П. Методы микрохимического анализа. Л.: Изд-во ЛГУ, 1960. 192 с.
10. Свободные радикалы в биологии / Ред. У. Прайор. М.: Мир, 1979. Т. 2. 328 с.
11. Auclair C., Voisin E. // Handbook of Methods for Oxygen Radical Research / Ed. R.A. Greenwald. Boca Raton: CRC Press, 1987. P. 123–132.
12. Bielski B.H.J., Shiue G.G., Bajuk S. // J. Phys. Chem. 1980. V. 84. P. 830–833.
13. Van-Catledge F.A., Allinger N.L. // J. Am. Chem. Soc. 1982. V. 104. P. 6272–6273.
14. Bielski B.H.J., Richter H.W. // J. Am. Chem. Soc. 1977. V. 9. P. 3019–3023.
15. Amano D., Kagozaki Y., Usui T. // Biochem. Biophys. Res. Comm. 1975. V. 66. P. 272.
16. Auclair C., Torres M., Hakim Y. // FEBS Lett. 1978. V. 89. P. 26–28.
17. Современная микробиология: Прокариоты. Пер. с англ. / Ред. Й. Ленглер, Г. Древс, Г. Шлегель. М.: Мир, 2005. Т. 1. 656 с.
18. Beech I.B., Sunner J.A., Hiraoka K. // Int. Microbiol. 2005. V. 8. P. 157–168.

## Role of Superoxide Anion Radicals in the Bacterial Corrosion of Metals

D. V. Belov<sup>a</sup>, A. A. Kalinina<sup>a</sup>, T. N. Sokolova<sup>a</sup>, V. F. Smirnov<sup>b</sup>,  
M. V. Chelnokova<sup>a</sup>, and V. R. Kartashov<sup>a</sup>

<sup>a</sup> Nizhni Novgorod State Technical University, Nizhni Novgorod

<sup>b</sup> Chemistry Research Institute, Nizhni Novgorod State University, Nizhni Novgorod

e-mail: 777aleksa\_87@mail.ru, biotehno@nntu.nnov.ru

Received August 16, 2011

**Abstract**—It was found that seven strains of bacteria can cause corrosion damage to aluminum, its alloys, and zinc. With respect to the studied metals, the most active bacteria were *Proteus vulgaris* 1212 and *Pseudomonas aeruginosa* 969. Superoxide anion radicals were demonstrated to play a role in the initiation of corrosive damage to aluminum and zinc, while bacterial exometabolites participate in the later stages of this process.